

## · 基础研究 ·

# 黄芪多糖修复 LPS 诱导的内皮祖细胞功能损伤机制的实验研究

张婧<sup>1</sup> 万晓青<sup>1</sup> 苏慧丽<sup>1</sup> 张忠山<sup>2</sup> 毛根祥<sup>1</sup>

**摘要 目的** 运用 microRNA 芯片方法检测黄芪多糖对脂多糖(LPS)刺激下人内皮祖细胞(EPCs)细胞功能损伤的诱导作用及相关的 miRNA 表达变化,分析其分子机制。**方法** 将 EPCs 分为 3 组:对照组、LPS 处理组(LPS 组)和黄芪多糖预处理组(APS 组),进行 miRNA 表达谱分析与验证,并利用生物信息方法分析 miRNA 调控的靶基因功能与信号通路。**结果** 有 15 个 miRNA 与 LPS 诱导的细胞功能损伤相关。19 个 miRNA 在黄芪多糖预处理后表达发生了改变。7 个 miRNA 分子即 hsa-miR-146a-5p、hsa-miR-145-5p、hsa-miR-7977、hsa-miR-19a-3p、hsa-miR-377-3p、hsa-miR-7114-5p 及 hsa-miR-424-5p 在 LPS 组与 APS 组比较,差异有统计学意义( $P<0.05$ )。其中 3 个 miRNA 经 RT-PCR 验证结果与芯片结果相符。7 个 miRNA 的靶基因主要参与蛋白泛素化调节等基因本体(GO)功能分类以及 PI3K-Akt 等信号通路。**结论** APS 对 LPS 诱导的 EPCs 功能损伤有保护修复作用,该作用可能与 miRNA 分子的表达改变相关。

**关键词** 黄芪多糖; 脂多糖; 内皮祖细胞; microRNA 芯片

**Effect of Astragalus Polysaccharides on LPS-induced EPCs Functional Damage** ZHANG Jing<sup>1</sup>, WAN Xiao-qing<sup>1</sup>, SU Hui-li<sup>1</sup>, ZHANG Zhong-shan<sup>2</sup>, and MAO Gen-xiang<sup>1</sup> 1 Zhejiang Provincial Key Lab of Geriatrics, Zhejiang Hospital, Hangzhou (310030); 2 School of Life Sciences, Huzhou Normal College, Zhejiang (313000)

**ABSTRACT Objective** To analyze the relative miRNA network of *Astragalus Polysaccharides'* (APS) protective effect on lipopolysaccharide (LPS)-induced functional damage of endothelial progenitor cells (EPCs). **Methods** For miRNA expression profile analysis, endothelial progenitor cells were divided into three groups: Control group, LPS treatment group, and APS pretreatment group. Real-time PCR were used for microarray data validation. Bioinformatics methods were used for miRNA network analysis. **Results** Totally 15 miRNAs were found to be associated with LPS-induced cellular functional impairment. Expressions of 19 miRNAs were changed after APS pretreatment with LPS stimulation. Seven miRNAs including hsa-miR-146a-5p, hsa-miR-145-5p, hsa-miR-7977, hsa-miR-19a-3p, hsa-miR-377-3p, hsa-miR-7114-5p, and hsa-miR-424-5p, showed significant differences between the LPS group and the APS pretreatment group ( $P<0.05$ ). Expressions of 3 miRNAs verified by RT-PCR were consistent with the microarray results. GO analysis found that mRNA targets of the 7 miRNAs were enriched in protein ubiquitination functional group and PI3K-Akt signaling pathway. **Conclusions** APS had protective effects on LPS-induced functional damage of EPCs. The molecular mechanism of this effect was related to expression changes of miRNAs.

**KEYWORDS** *Astragalus Polysaccharides*; lipopolysaccharide; endothelial progenitor cell; microRNA microarray

基金项目: 国家自然科学基金资助项目(No. 81771520); 浙江省自然科学基金青年项目(No. LQ16H020006); 浙江省中医药科学研究基金项目(No. 2015ZA002); 浙江省医药卫生科技计划平台带头人项目(No. 2015DTA001)

作者单位: 1. 浙江医院浙江省老年医学重点实验室(杭州 313000); 2. 湖州师范学院生命科学学院(浙江 313000)

通讯作者: 毛根祥, Tel: 0571-87377772, E-mail: maogenxiang@163.com

DOI: 10.7661/j. cjem. 20190910. 275

血管生成或修复能力受损是心血管疾病、糖尿病和中风等疾病并发症的主要原因<sup>[1]</sup>。国内外研究表明,心血管疾病患者炎症因子水平的升高将直接损害血管内皮,增加血黏度,易于形成血栓和栓塞,加重了患者的血脂紊乱,从而加速了血管病变的发展,大大的影响了患者生活质量及预后<sup>[2]</sup>。内皮祖细胞(endothelial progenitor cells, EPCs)是一种存在于循环外周血中能够分化为血管内皮细胞的前体细胞,主要来源于骨髓、脐血或胎肝<sup>[3]</sup>。在血管损伤或组织缺血的情况下,存在于骨髓中的 EPCs 可以应答于局部释放的生长因子和细胞因子而增殖,分化并动员至外周血液循环,特异性的归巢于损伤或缺血部位,进一步增殖、分化为成熟的内皮细胞,参与血管新生和再内皮化<sup>[4]</sup>。

黄芪是一种传统的补益类中药,主要生物活性物质成分包括多糖、蛋白质、生物碱、氨基酸、黄酮类、苷类、微量元素等,具有突出的免疫调节功能。黄芪多糖(*Astragalus Polysaccharides*, APS)是从黄芪根部提取一种白色粉末状物质,主要由  $\alpha$ -1, 4 (1, 6) 葡聚糖、阿拉伯-半乳多糖、鼠李-半乳糖醛酸多糖和阿拉伯-半乳蛋白多糖所组成,能够有效调节机体的免疫功能并且抑制肿瘤的生长<sup>[5]</sup>。APS 还可降低糖尿病大鼠血糖水平,对早期糖尿病大鼠血管内皮细胞具有良好的保护作用<sup>[6]</sup>。

microRNAs 主要通过与靶基因 mRNA 3' UTR 区域的完全或不完全配对引起 mRNA 降解或翻译抑制,从而在转录后水平调控基因的表达,进而参与调控个体发育、细胞凋亡、增殖及分化等生物过程<sup>[7, 8]</sup>。本研究初步探讨了 APS 对脂多糖(lipopolysaccharide, LPS)诱导 EPCs 损伤的保护作用,并从 miRNA 水平揭示 APS 保护 EPCs 的分子机制。

## 材料与方法

**1 细胞** 原代培养的 EPCs 由本实验室从外周血分离培养。

**2 药物** APS, 购自北京索莱宝科技有限公司。

**3 试剂及仪器** EGM-2 培养基(美国 Lonza 公司);胎牛血清(美国 Hyclone 公司);Trizol 试剂(Invitrogen 公司);miScript Reverse Transcription Kit 试剂盒(德国 Qiagen 公司);miScript SYBR Green PCR kit 200 试剂盒(德国 Qiagen 公司);CCK-8 细胞活性检测试剂盒(日本同仁化学研究所);miRNA 模拟物(上海吉玛公司);BD matrigel 基质胶(德国 BD Biosciences 公司),其他生化试剂均为国产分析纯。荧光倒置显微镜(德国徕卡仪器公司)。

## 4 方法

**4.1 细胞分离与培养** 抽取志愿者外周静脉血 30 mL,采用密度梯度离心法分离纯化出外周血单个核细胞,重悬于 EGM-2 培养基(含 20% 胎牛血清、青霉素 100 U/mL、链霉素 0.1 mg/mL、血管内皮生长因子 50 ng/mL),接种于预先包被好纤维连接蛋白的细胞培养瓶中,置于 37 °C、5% CO<sub>2</sub> 培养箱中培养;3 天后移除未贴壁悬浮细胞,换培养液继续培养;每 3 天换液,在倒置显微镜下动态观察细胞形态的变化,培养至 14 天左右的贴壁细胞即为实验所用的 EPCs<sup>[9]</sup>。

**4.2 EPCs 鉴定** 将贴壁细胞与浓度为 2.4 μg/mL Dil 标记的乙酰化低密度脂蛋白(Dil-ac-LDL)在 37 °C 孵育 1 h 后用 2% 多聚甲醛固定;再将浓度为 10 μg/mL FITC 标记的荆豆凝集素 1(FITC-UEA-1)滴加于上述标本中 37 °C 孵育 1 h,磷酸缓冲盐溶液(PBS)冲洗 3 次,蒸馏水冲洗 1 次,滴加缓冲甘油封片。通过荧光倒置显微镜鉴定 FIT-UEA-1、Dil-ac-LDL 双染色阳性细胞为正在分化的 EPCs。

**4.3 分组干预** 将贴壁细胞消化、重悬后分为 3 组:对照组,EGM-2 培养 48 h;LPS 处理组(简称 LPS 组),EGM-2 培养 24 h 后,加 1 mg/mL LPS 继续培养 24 h;APS 预处理组(简称 APS 组),EGM-2 培养基加 APS(800 μg/mL)培养细胞 24 h 后换液,继续用 EGM-2 培养基加 1 mg/mL LPS,培养 24 h。处理后即刻收集细胞进行下一步检测。

## 5 观察项目及检测方法

**5.1 细胞增殖能力检测** 将分组处理好的细胞消化,以(1.5~2.0)×10<sup>4</sup> 细胞/孔的密度在 96 孔培养板上将细胞接种,每组 6 孔,每孔 100 μL。分别于 0、24、48、72 h 加 CCK-8 孵育 2 h,在酶标仪上 450 nm 波长处测定吸光度值。

**5.2 microRNA 芯片检测** EPCs 予处理后,立即收集细胞,Trizol 试剂提取细胞总 RNA,采用生物分析仪(安捷伦,2100)鉴定 RNA 的纯度和质量。对 RNA 3' 端加 poly(A),并进行荧光标记,进行杂交反应。本实验采用 LC Sciences microRNA 微阵列(单色,miRbase 19.0 版本),用激光共聚焦扫描仪对杂交结束后的芯片进行扫描,对杂交信号值进行背景扣除,归一化。

**5.3 荧光定量 PCR 验证芯片结果** 选取芯片结果中显著差异表达的 miRNA 进行验证。PCR 引物购自德国 Qiagen 公司。按照 miScript Reverse Transcription Kit 试剂盒说明书,将各例 RNA 样本逆转录为 cDNA,反应程序为: 37 °C 60 min, 95 °C

5 min, 冰上保存。按照 miScript SYBR Green PCR Kit 的说明, 进行定量 PCR, 反应程序为: 95 °C 5 min 预变性, 95 °C 15 s, 55 °C 30 s, 70 °C 34 s(采集信号)重复 40 个循环进行扩增; 溶解曲线采用 ABI 7000 默认程序。反应结束后仪器自动计算出 Ct(threshold cycles)值。每个样本设置 3 个重复管, 同时设无模版阴性对照。 $2^{-\Delta\Delta Ct}$  法计算各组之间 miRNA 的表达差异。

**5.4 细胞转染** 取生长至对数期的 EPCs, 参考 Invitrogen 公司的脂质体 Lipofectamine 2000 转染方法分别将 miRNA-424 mimics、mimics control 转染至细胞中, 转染后室温放置 20 min, 6 h 后换成 EGM-2 完全培养液, 继续培养 48 h 进行后续实验。

**5.5 血管形成实验** 于冰上向 96 孔板每孔中加入 50 μL 基质胶, 5% CO<sub>2</sub> 的 37 °C 孵箱中孵育 60 min。消化 EPCs, 每孔中加入 2×10<sup>4</sup> 个细胞, 培养 2 h 后, 每隔 1 h 在光学显微镜下观察细胞成管情况, 并拍照记录<sup>[10]</sup>。

**5.6 靶基因预测与分析** 采用生物信息学软件 (mirtarbase <http://mirtarbase.mbc.nctu.edu.tw>) 和 microT-CDS ([http://diana.imis.athena-innovation.gr/DianaTools/index.php?r=miroT\\_CDS/index](http://diana.imis.athena-innovation.gr/DianaTools/index.php?r=miroT_CDS/index)) 对芯片检测的差异表达 miRNA ( $P<0.05$ ) 进行靶基因预测。基于 GO(gene ontology) 功能数据库和 KEGG (kyoto encyclopedia of genes and genomes) 数据库, 利用 David 软件 (the database for annotation, visualization and integrated discovery, <https://david.ncifcrf.gov/>) 对靶基因进行 GO 显著性分析和信号通路显著性分析。

**6 统计学方法** 采用 SPSS 10.0 软件进行数据分析。多组间比较采用单因素方差分析, 两两比较采用 LSD 方法。两组间比较采用 t 检验。作图使用 Graph Pad Prism 5 软件。 $P<0.05$  为差异有统计学意义。

## 结 果

**1 EPCs 鉴定结果(图 1)** EPCs 具有摄取 ac-LDL 和结合 UEA-1 的能力, 收集培养 14 天的贴壁细胞, 经 FITC-UEA-1 和 Dil-ac-LDL 单克隆抗体标记, 荧光倒置显微镜下鉴定 Dil-ac-LDL 染色阳性细胞呈红色, FITC-UEA-1 染色阳性细胞呈绿色, FITC-UEA-1 和 Dil-ac-LDL 双染色阳性细胞视为 EPCs, 呈黄色。

**2 3 组 EPCs 增殖能力比较(表 1)** 处理 96 h 后, LPS 组及 APS 组 EPCs 的增殖能力较对照组明

显降低( $P<0.05$ )。与 LPS 组比较, APS 组 EPCs 增殖能力增强( $P<0.05$ )。



注:A 为细胞 Dil-ac-LDL 染色;B 为细胞 UEA-1 FITC 染色;C 为双染色

图 1 EPCs 鉴定结果 ( $\times 200$ )

表 1 3 组 EPCs 增殖能力比较 (OD 值,  $\bar{x}\pm s$ )

组别	n	0 h	24 h	48 h	96 h
对照	4	0.61±0.04	0.85±0.06	1.55±0.11	2.02±0.08
LPS	4	0.67±0.05	0.72±0.08	1.31±0.01	1.65±0.05*
APS	4	0.52±0.03	0.81±0.01	1.50±0.04	1.79±0.06*△

注:与对照组同期比较, \* $P<0.05$ ; 与 LPS 组同期比较, △ $P<0.05$

## 3 3 组 EPCs 的 miRNA 表达谱差异比较(表 2)

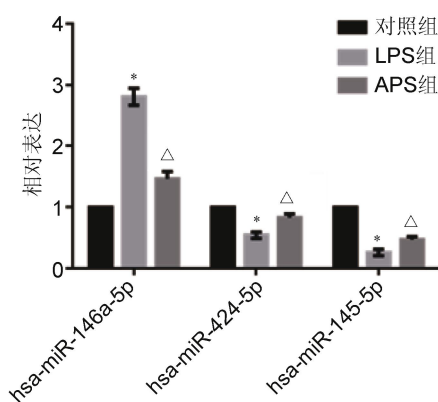
与对照组比较, LPS 组有 15 个 miRNA 表达差异显著( $P<0.05$ )。与 LPS 组比较, APS 组有 19 个 miRNA 发生了改变( $P<0.05$ )。其中 hsa-miR-146a-5p 表达量在 LPS 刺激后表达升高( $P<0.05$ );而在 APS 干预后表达降低( $P<0.05$ )。hsa-miR-145-5p、hsa-miR-7977、hsa-miR-19a-3p、hsa-miR-377-3p、hsa-miR-7114-5p、hsa-miR-424-5p 在

表 2 3 组 EPCs 的 miRNA 表达谱差异比较

miRNA	对照组/LPS 组	P 值	APS 组/LPS 组	P 值
hsa-miR-155-5p	—	—	0.56	0.00
hsa-miR-146a-5p	0.57	0.03	0.24	0.03
hsa-miR-8069	—	—	0.59	0.04
hsa-miR-575	—	—	0.60	0.01
hsa-miR-376b-3p	—	—	1.51	0.05
hsa-miR-154-3p	1.52	0.04	—	—
hsa-miR-337-5p	—	—	1.52	0.01
hsa-miR-590-5p	—	—	1.53	0.01
hsa-miR-145-5p	1.55	0.03	1.50	0.05
hsa-miR-130a-3p	—	—	1.55	0.05
hsa-miR-299-3p	—	—	1.56	0.03
hsa-miR-5194	—	—	1.57	0.02
hsa-miR-424-5p	1.58	0.02	1.79	0.02
hsa-miR-6085	1.61	0.05	—	—
hsa-miR-210-3p	—	—	1.61	0.05
hsa-miR-18a-5p	—	—	1.62	0.01
hsa-miR-136-5p	—	—	1.62	0.01
hsa-miR-377-3p	1.68	0.03	1.66	0.04
hsa-miR-19a-3p	1.71	0.04	1.65	0.03
hsa-miR-21-3p	1.77	0.03	—	—
hsa-miR-6826-5p	1.78	0.01	—	—
hsa-miR-5100	1.78	0.02	—	—
hsa-miR-4286	1.78	0.01	—	—
hsa-miR-1260a	1.91	0.04	—	—
hsa-miR-1260b	2.04	0.02	—	—
hsa-miR-7114-5p	2.07	0.04	1.70	0.03
hsa-miR-7977	2.10	0.01	1.59	0.04

LPS 刺激后表达降低( $P<0.05$ )，在 APS 干预后表达升高( $P<0.05$ )。

4 3 组芯片验证结果(图 2) hsa-miR-146a-5p、hsa-miR-145-5p、hsa-miR-424-5p 表达趋势与芯片结果相符。



注：与对照组比较，\*  $P<0.05$ ；与 LPS 组比较，△  $P<0.05$

图 2 3 组芯片验证结果

5 差异表达 miRNA 靶基因 显著富集的 GO 与信号通路 APS 调控的 miRNA 分子的靶基因功能明显富集到包括蛋白泛素化调节(GO:0016567)、wnt 信号通路(GO:0016055)、细胞凋亡(GO:0097190)、细胞应激反应的调节(GO:0080135)等多

个 GO 分类中，以及包括 PI3K-Akt 信号通路(hsa04151)、调节干细胞多能性的信号通路(hsa04550)、FoxO 信号通路(hsa04068)、Hippo 信号通路(hsa04390)等信号通路中。其中有 65 个靶基因富集在调节干细胞多能性的信号通路(hsa04550)。

### 6 7 个 miRNAs 与靶基因的对应关系(图 3)

原癌基因 c-myc 是 hsa-miR-377-3p、hsa-miR-424-5p、hsa-miR-145-5p 的靶基因；丝裂原活化蛋白激酶 1 (mitogen-activated protein kinase 1, MAPK1) 是 hsa-miR-19a-3p、hsa-miR-424-5p、hsa-miR-377-3p 的靶基因；分化抑制因子 4 (transcription factor inhibitor of differentiation 4, ID4) 及胰岛素样生长因子 1 受体 (insulin-like growth factor 1 receptor, IGF1R) 是 hsa-miR-145-5p、hsa-miR-19a-3p、hsa-miR-424-5p 的靶基因；糖原合成酶激酶-3β (glycogen synthase kinase 3 Beta, GSK3B) 是 hsa-miR-145-5p、hsa-miR-19a-3p、hsa-miR-424-5p、hsa-miR-146a-5p 的共同靶基因。

7 过表达 hsa-miR-424 的 EPCs 和对照组 EPCs 血管形成能力比较(图 4) 对照组光镜下显示为多个散在的孤立细胞，细胞间未见明显连接或连接很少，而过表达 miR-424 的 EPCs 间出现连接，可见少量细胞呈环形结构，形成管腔。光镜下计数(3 个随机视野血管数之和)差异显著。

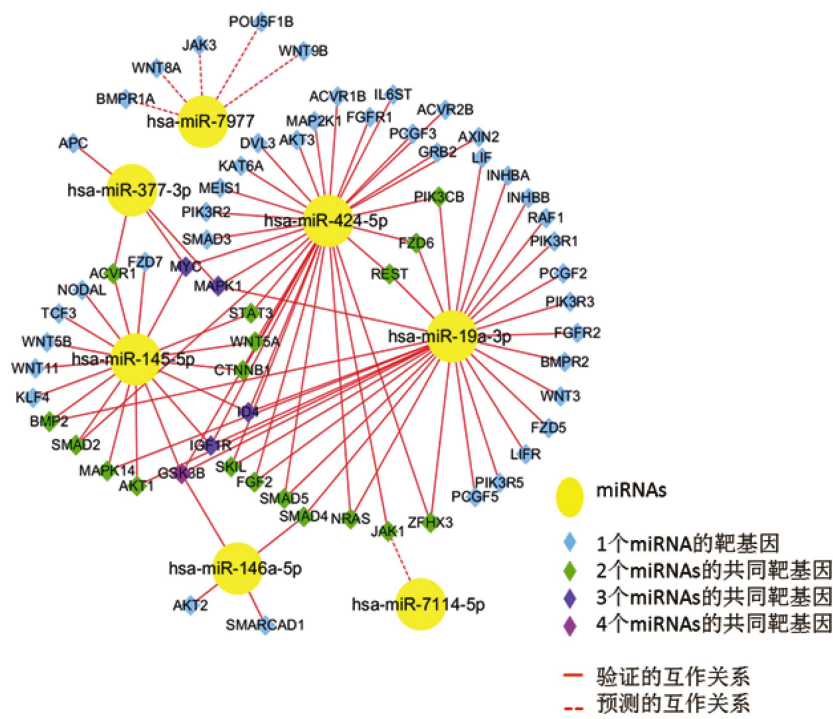
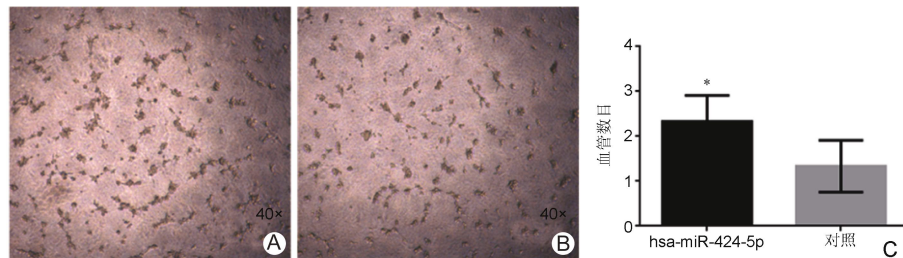


图 3 7 个 miRNAs 与靶基因的对应关系



注:A 为过表达 hsa-miR-424 的 EPCs(×40);B 为对照组 EPCs(×40);C 为过表达 hsa-miR-424 的 EPCs 与对照组 EPCs 血管数目比较;与对照组比较, \* P<0.05; n=3

图 4 血管形成能力比较

## 讨 论

Asahara T 等<sup>[3]</sup>首次研究发现,循环外周血中存在一种能分化为血管内皮细胞的前体细胞,并将其命名为 EPCs。EPCs 对稳定血管内膜、修复受损血管,促进血管新生与缺血区侧支循环的建立,改善缺血区域血供发挥了重要作用。LPS 是革兰阴性菌细胞壁主要成分,可导致血管内皮的炎症反应,进而造成血管内皮细胞损伤,是心脑血管疾病、糖尿病等疾病发生发展的主要病理因素和炎症反应过程的早期事件。外周血循环 EPCs 可作为生物标志物预测心血管疾病的疗效<sup>[11]</sup>。血管修复功能的调节不仅和循环中的 EPCs 数量有关,更和 EPCs 的活性相关<sup>[12]</sup>。

黄芪是一种传统的补益类中药,主要生物活性物质成分包括多糖、蛋白质、生物碱、氨基酸、黄酮类、苷类、微量元素等。其多糖成分的免疫学活性已经逐渐受到重视,APS 是从黄芪根部提取一种白色粉末状物质,主要由 α-1, 4 (1, 6) 葡聚糖、阿拉伯-半乳多糖、鼠李-半乳糖醛酸多糖和阿拉伯-半乳蛋白多糖所组成,能够有效调节机体的免疫功能并且抑制肿瘤的生长<sup>[5]</sup>,其中免疫调节功能尤为突出。在大鼠 H9c2 心肌细胞中,APS 通过下调 miR-127 表达,抑制核因子 κB (nuclear factor kappa-B, NF-κB)、氨基末端激酶 (c-Jun N-terminal kinase, JNK),减轻 LPS 诱导炎症对细胞的损伤<sup>[13]</sup>。APS 通过抑制 TLR-4/NF-κB 信号通路,保有效抑制柯萨奇 B 组 3 型病毒 (coxsackievirus group B type3, CVB3)引起的小鼠心肌损伤,并抑制炎症因子 IL-6、TNF-α、INF-γ 的表达<sup>[14]</sup>。APS 还可降低糖尿病大鼠血糖水平,对早期糖尿病大鼠血管内皮细胞具有良好的保护作用<sup>[6]</sup>。然而 APS 对内毒素、炎症因子等导致的血管损伤的保护和修复作用机制尚不明确。本研究发现 LPS 刺激后 EPCs 的增殖能力减弱,而加入 APS 对 EPCs 的增殖能力具有一定的保护作用。本研究进一步利用 mi-

croRNA Microarray 对 APS 保护 LPS 造成的 EPCs 功能损伤进行机制研究。

miR-146a 是 LPS/TLR4 信号的关键调控分子之一。多项研究报道,在 LPS 刺激下,细胞内 miR-146a 受到 NF-κB 转录激活表达升高<sup>[15]</sup>。白细胞介素 1 受体相关激酶 1 (IL-1 receptor associated kinase 1, IRAK1) 和肿瘤坏死因子受体相关因子 6 (TNF receptor associated factor 6, TRAF6) 是 miR-146a 的下游靶基因,受到其负调控<sup>[16]</sup>,进而抑制 NF-κB 表达,形成负反馈环路。在人 LX2 肝星状细胞中,高表达的 miR-146a-5p 抑制了 LPS 诱导的促炎因子分泌和细胞增殖,并通过下调 TLR4、IRAK1、TRAF6、NF-κB 表达,促进细胞凋亡<sup>[16]</sup>。然而也有报道,miR-146a 具有促进炎症因子表达的作用,受 LPS 刺激后,小鼠 ATDC5 前软骨细胞的活性降低,大量产生 IL-6、IL-8、TNF-α,同时 hsa-miR-146a-5p 表达量显著升高;在体外过表达 hsa-miR-146a-5p 后,ATDC5 细胞的活性降低,炎症因子增加,而抑制该 miRNA 细胞则表现出相反的表型<sup>[17]</sup>。

miR-145 在多种肿瘤中被报道是抑癌 miRNA 分子。在多种肿瘤细胞中高表达该 miRNA 可以抑制细胞增殖并诱导细胞凋亡<sup>[18,19]</sup>。在结肠癌中,miR-145 通过抑制靶基因核糖体 S6 蛋白激酶 1 (ribosomal protein S6 kinase, 70 kDa, polypeptide 1, p70S6K1) 表达,进而抑制下游基因低氧诱导因子-1 (hypoxia inducible factor-1, HIF-1α) 和血管内皮生长因子 (vascular endothelial growth factor, VEGF),抑制血管形成<sup>[20]</sup>。在 H<sub>2</sub>O<sub>2</sub> 诱导下,miR-145 通过抑制其靶基因 Bcl2 相互作用蛋白 3 (Bcl2 interacting protein 3, BNIP3),抑制线粒体凋亡通路从而保护心肌细胞<sup>[21]</sup>。

miR-424 表达与血管生成相关。在缺氧环境下,miR-424 受到转录因子嘌呤核苷酸富集区结合蛋白 1 (purine-rich nucleic acid binding protein 1,

PNABP1)的激活高表达,促进血管内皮细胞的增殖和迁移能力,有助于血管生成。miR-424 靶向结合在泛素连接酶支架蛋白 CUL2(cullin2)的 3'UTR 区域,抑制 CUL2 表达,使 HIF-1 $\alpha$  不被降解。在内皮细胞中过表达 miR-424 能够增加 HIF-1 $\alpha$  和 HIF-2 $\alpha$  在细胞中的含量,促进内皮细胞的增殖和迁移<sup>[22]</sup>。Lee A 等<sup>[23]</sup>发现,miR-424 受到过氧化物酶体增殖物激活受体  $\gamma$ (peroxisome proliferators-activated receptors gamma, PPAR $\gamma$ )的转录调控,在炎症因子的刺激下表达 PPAR $\gamma$  下降导致 miR-424 表达下降,从而 miR-424 靶基因 B 细胞表面抗原 CD40(B cell surface antigen CD40, CD40)的表达上升,CD40 受体二聚体在内皮细胞的促血管炎症反应中起到重要作用。

功能聚类和信号通路分析进一步揭示了 APS 调控的 miRNA 分子的靶基因可能发挥的分子机制。原癌基因 c-myc、MAPK1、ID4、IGF1R 和 GSK3B 是多个受 APS 调控的 miRNA 分子的共同靶基因。Zhang L 等<sup>[24]</sup>发现,APS 通过调节 MAPK/NF- $\kappa$ B 抑制电离辐射导致的旁观者效应。在糖尿病小鼠模型中,APS 可以抑制 GSK3B 的表达从而提高胰岛素的敏感性,在一定程度上缓解病情<sup>[25]</sup>。原癌基因 c-myc 对细胞增殖和转化有促进作用,是重要的血管生成调控因子,在肿瘤血管生成有重要作用<sup>[26]</sup>。Florea V 等<sup>[27]</sup>发现,敲除原癌基因 c-myc 可以诱导内皮细胞衰老,损害内皮功能和血管内平衡,该现象与转录激活信号通路促炎症反应有关。ID4 是维持干细胞自我更新的关键分子<sup>[28]</sup>,其通过消除促活化因子无刚毛鳞甲复合体同源物样蛋白 1(achaeete-scute homolog-1, ASCL1)从而维持成体海马干细胞的静息状态<sup>[29]</sup>。IGF1R 与细胞增殖、发育、分化密切相关,并参与抑制细胞凋亡,促进细胞分裂<sup>[30]</sup>。

综上,APS 通过调控 miRNA 修复 LPS 诱导的 EPCs 损伤,本研究结合 miRNA 靶基因的功能对 APS 的调控机制进行了初步探讨,为进一步深入研究 APS 对 LPS、炎症因子等导致的血管损伤的保护和修复作用机制提供了基础。

利益冲突: 无。

## 参 考 文 献

- [1] Grisar JC, Haddad F, Gomari FA, et al. Endothelial progenitor cells in cardiovascular disease and chronic inflammation: from biomarker to therapeutic agent[J]. Biomark Med, 2011, 5(6): 731-744.
- [2] Wu W, Wang M, Sun Z, et al. The predictive value of TNF- $\alpha$  and IL-6 and the incidence of macrovascular complications in patients with type 2 diabetes[J]. Acta Diabetol, 2012, 49(1): 3-7.
- [3] Asahara T, Murohara T, Sullivan A, et al. Isolation of putative progenitor endothelial cells for angiogenesis[J]. Science, 1997, 275(5302): 964-967.
- [4] Fadini GP, Losordo D, Dimmeler S. Critical reevaluation of endothelial progenitor cell phenotypes for therapeutic and diagnostic use[J]. Circ Res, 2012, 110(4): 624-637.
- [5] 马占好, 张春艳, 刘旭, 等. 黄芪多糖对小鼠体内六种细胞系瘤株抑瘤作用的实验研究[J]. 中医药学报, 1996, 4(1): 55-56.
- [6] 涂淑珍, 吴欧. 黄芪多糖对糖尿病大鼠血管内皮细胞的影响[J]. 辽宁中医杂志, 2002, (1): 22-23.
- [7] Zahnow CA, Baylin SB. Epigenetic networks and miRNAs in stem cells and cancer[J]. Mol Cell, 2010, 39(5): 661-663.
- [8] Duru N, Gernapudi R, Eades G, et al. Epigenetic regulation of miRNAs and breast cancer stem cells[J]. Curr Pharmacol Rep, 2015, 1(3): 161-169.
- [9] Tao J, Yang Z, Wang JM, et al. Shear stress increases Cu/Zn SOD activity and mRNA expression in human endothelial progenitor cells[J]. J Hum Hypertens, 2007, 21(5): 353-358.
- [10] Chen JK, Deng YP, Jiang GJ, et al. Establishment of tube formation assay of bone marrow-derived endothelial progenitor cells[J]. CNS Neurosci Ther, 2013, 19(7): 533-535.
- [11] Shaundee S, McDonald SP, Coates PTH, et al. Endothelial progenitor cells: novel biomarker and promising cell therapy for cardiovascular disease[J]. Clin Sci (Lond), 2011, 120(7): 263-283.
- [12] Briasoulis A, Tousoulis D, Antoniades C, et al. The role of endothelial progenitor cells in vascular repair after arterial injury and atherosclerotic plaque development[J]. Cardiovasc Ther, 2011, 29(2): 125-139.
- [13] Ren Q, Zhao S, Ren C, et al. *Astragalus Polysaccharides* alleviates LPS-induced inflammation injury by regulating miR-127 in H9c2 cardiomyoblasts[J]. Int J Immunopathol Pharmacol, 2018, 32: 2058738418759180.
- [14] Liu T, Zhang M, Niu H, et al. *Astragalus Polysaccharides* from *astragalus melittin* ameliorates inflammation via suppressing the activation of TLR-4/NF- $\kappa$ B p65 signal pathway and protects mice from CVB3-induced virus myocarditis[J]. Int J Bi-

- ol Macromol, 2019, 126: 179–186.
- [15] Taganov KD, Boldin MP, Chang KJ, et al. NF-κB-dependent induction of microRNA miR-146, an inhibitor targeted to signaling proteins of innate immune responses [J]. Proc Natl Acad Sci USA, 2006, 103(33): 12481–12486.
- [16] Chen Y, Wu Z, Yuan B, et al. microRNA-146a-5p attenuates irradiation-induced and LPS-induced hepatic stellate cell activation and hepatocyte apoptosis through inhibition of TLR4 pathway [J]. Cell Death Dis, 2018, 9(2): 22.
- [17] Jiang R, Hao P, Yu G, et al. Kaempferol protects chondrogenic ATDC5 cells against inflammatory injury triggered by lipopolysaccharide through down-regulating miR-146a [J]. Int Immunopharmacol, 2019, 69: 373–381.
- [18] Chen X, Gong J, Zeng H, et al. microRNA145 targets BNIP3 and suppresses prostate cancer progression [J]. Cancer Res, 2010, 70(7): 2728–2738.
- [19] Spizzo R, Lupini L, Rossi S, et al. miR-145 participates with TP53 in a death-promoting regulatory loop and targets estrogen receptor-alpha in human breast cancer cells [J]. Cell Death Differ, 2010, 17(2): 246–254.
- [20] Xu Q, Liu LZ, Qian X, et al. miR-145 directly targets p70S6K1 in cancer cells to inhibit tumor growth and angiogenesis [J]. Nucleic Acids Res, 2012, 40(2): 761–774.
- [21] Ruotian L, Guijun Y, Qiaoling L, et al. microRNA-145 protects cardiomyocytes against hydrogen peroxide ( $H_2O_2$ )-induced apoptosis through targeting the mitochondria apoptotic pathway [J]. PLoS One, 2012, 7(9): e44907.
- [22] Ghosh G, Subramanian IV, Adhikari N, et al. Hypoxia-induced microRNA-424 expression in human endothelial cells regulates HIF-alpha isoforms and promotes angiogenesis [J]. J Clin Invest, 2010, 120(11): 4141–4154.
- [23] Lee A, Papangeli I, Park Y, et al. A PPARgamma-dependent miR-424/503-CD40 axis regulates inflammation mediated angiogenesis [J]. Sci Rep, 2017, 7(1): 2528.
- [24] Zhang L, Luo Y, Lu Z, et al. *Astragalus Polysaccharides* inhibits ionizing radiation-induced bystander effects by regulating MAPK/NF-κB signaling pathway in bone mesenchymal stem cells (BMSCs) [J]. Med Sci Monit, 2018, 24: 4649–4658.
- [25] Liu D, Li Y, Wang X, et al. *Astragalus Polysaccharides* combined with cisplatin inhibits growth of recurrent tumor and down-regulates the expression of CD44, CD62P and osteopontin in tumor tissues in mice bearing Lewis lung cancer [J]. Chin J Cell Molec Immunol, 2018, 34(12): 1105–1110.
- [26] Baudino TA, McKay C, Pendeville-Samain H, et al. c-myc is essential for vasculogenesis and angiogenesis during development and tumor progression [J]. Genes Dev, 2002, 16(19): 2530–2543.
- [27] Florea V, Bhagavatula N, Simovic G, et al. c-myc is essential to prevent endothelial pro-inflammatory senescent phenotype [J]. PLoS One, 2013, 8(9): e73146.
- [28] Junankar S, Baker LA, Roden DL, et al. ID4 controls mammary stem cells and marks breast cancers with a stem cell-like phenotype [J]. Nat Commun, 2015, 6: 6548.
- [29] Blomfield I, Rocamonde B, Masdeu M, et al. ID4 eliminates the pro-activation factor ASCL1 to maintain quiescence of adult hippocampal stem cells [EB/OL]. <https://ssrn.com/abstract=3219271> or <http://dx.doi.org/10.2139/ssrn.3219271>.
- [30] Romano G. The complex biology of the receptor for the insulin-like growth factor-1 [J]. Drug News Perspect, 2003, 16(8): 525–531.

(收稿: 2019-03-07 在线: 2019-10-18)

责任编辑: 段碧芳

英文责编: 张晶晶